四极装置均在单纯激电效应相关线的左侧查到X,偶极一偶极装置大多在激电效应相关线的右侧查到X。

关于校正的误差问题。由于这种求解方法主要是用所测数值之间的比例关系,故对系统观测误差有压制作用,传递误差一般都比较小。要注意的是频率间隔较小的 视 频 率 效应值(如: $P_s(0.3125, 1.25)$,这个值的观测误差影响最大,所以要尽量观测准确。另外,测量尽量在校准好 $\rho_S(f_D)$ 之后一次完成,这不仅提高工作效率,主要是使随机干扰的影响最小。

江西省地质局物探队提供了宝贵的实测资料, 谨此致谢。

参考资料

- (1) Frank B. Millett, 'Part E. Electromagnetic Coupling of Collinear dipoles on a uniform half-Space' Mining Geophysics I 401-419
- 〔2〕战克、朱宝汉、《物探与化探》,1981年第1期
- [3]贺来秀三, 日《物理探矿》,19卷第4、5号
- (4)邓祖桜, 电磁耦合及改正方法, 地质总局变频激电会议专题报告
- (5)罗延钟, 《地质与勘探》, 1980年第10期
- [6]J.B.维特, 变频法, 《地球物理勘探专辑》第7辑
- [7]阁立光、沈连金, 非均匀介质中电磁耦合的模型实验, 冶金部物探公司专题报告

电阻率法在个旧矿区的应用与效果

西南冶金地质勘探公司物探队 曹显光

问题的提出

个旧矿区的找矿向物探工作提出来的主要任务是: 1.寻找深部硫化矿和 浅部 氧化矿, 2.圈定控制成矿中心的隐伏花岗岩的起伏形态; 3.在浮土覆盖区寻找含矿断裂带。该区的物性参数从表1可见:

- 1. 花岗岩基本上没有磁性,氧化矿磁性 不大,硫化矿埋藏太深,而浮土磁性干扰较 大。曾大面积做过磁法,但效果不佳。
- 2.花岗岩与围岩(个旧灰岩)的密度和 弹性被速度相差均不大, 硫化矿与围岩虽有 密度差, 但埋藏深, 地形切割, 重力法没有 取得明显效果。地震法因受条件、设备等限 制未作研究。
- 3.由于矿床氧化深度大(大多在300米以上),山形过滤电场强,以致大面积使用自然电场法也没有取得地质效果。
- 4.花岗岩、氧化矿和断裂带的电阻率与 围岩有3~10倍的差异,具备寻找这些地 质体的物性前提。但矿区存在着各种强大干 扰,为此,在开展电阻率法工作时,应对干扰

			表 1	
物性参数	电阻率	磁化率	密度	地震波速
岩矿	Ω•m	10-6CG SM	g/cm³	km/S
个旧灰岩	4.8×10 ³	0	2.6~2.7	4~5
花 岗 岩	[0~5×10²	2.6	5~5.9
夕卡岩	$\begin{array}{c} 1.5 \times 10^3 \\ 1.1 \times 10^2 \\ \end{array}$	60		5.1
,硫化矿	1.2×10 ³ 0.0n }	n×108	3.7 ~ 4.4	5
氧 化 矿 断 裂 带	n×10 ² 1.3×10 ⁸ n×10 ²	1×10 ⁸		
浮 土	1.5×10 ³ 10~ n×10 ³	0~104		

逐一进行研究,予以消除或压抑到最小程度。

几种主要干扰的研究

一、地形影响的研究 在山区作电阻率

46

法地形影响是主要干扰之一。地形引起的异 常强度往往比有用异常大若干倍, 给异常的 推断解释带来困难。为此,我们从63年起就 进行了这方面的研究。70年代又得到中南矿 冶学院地质系、云南大学数学系的支持和协 作。先后取得的主要成果是: 1.提出了地形 上的视电阻率概念: ρ_s = (ρ_{MN}·J_{MN})/J_ocosα (其中测量点处坡角α 余弦的倒数项是我们 引入的);解决了供电点和测量点分别位于 角域两坡、且径向长度相等的电位公式[1], 推导出角域地形点电源场电位公式。2.用实 验和计算方法证明了复杂地形 可以组合迭 加, 角域是地形的基本单元, 从而使复杂地 形的改正简化。3.计算编制了《角域电位畸 变量板》,《联合剖面的角域 地 形 曲 线图 册》,《对称电测深的角域地形曲线图册》、 《斜交地形辅助曲线图册》和《三度体山脊 辅助曲线图册》,为地改提供了资料。去年 中南矿冶学院地质系又提出了一种简便、快 速的"多项式趋势拟合的地改法"。

即使是作定性解释,对山脊、山谷及地形拐点附近的异常,如不作地形改正,强大的地形影响将掩盖或歪曲地质体产生的异常。在图1-1上,山顶上实测曲线出现了一个明显的反交点。经地改后,山顶上的反

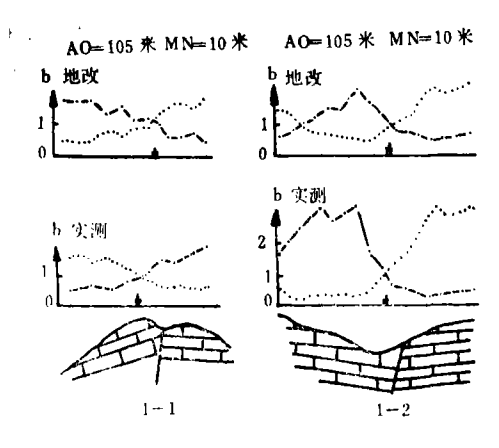


图 1 地形改正实例

交点消失,而在含矿断裂带上出现了明显的 正交点,显示含矿断裂的存在。图1—2是 一个强大的山谷异常掩盖了断裂带异常的实 例,正交点向山谷方向发生 位 移 。经 地改 后,正交点移回,正好反映 了 断 裂 带的位 置。说明地改是必要的。

二、低(高)阻岩层界面侧向影响的研究 当电法在电性不同的岩层 界 面 附 近工 作、或电测深点到界面的距离 α 小于所用的 电极距时,另一侧低(高)阻岩系将吸引 (或排斥)电流,形成所谓的侧向影响。这 种影响主要与电测深点到界面的距离(d)、 两侧介质电阻率的比(μ)及测深点布极方位 和界面夹角(θ)三个因素有关。已有人计算 出平行和垂直界面两种不同情况下的电阻率 曲线。但在实际工作中, 布极方向往往与界 面斜交。为此,我们研究出适用于斜交界面 的电测深计算公式,并编制出《直立接触面 视电阻率量板 ≫, 用来解决陡倾斜界面的影 响。这种影响不是容忽视的。如69年我们在 矿区某个地段工作时,由于当时对侧向影响 认识不足,没有对近南北走向,陡倾斜的个 旧大断裂带及其西侧的法郎组砂页岩(其电 阻率比工作地段小10~20倍)所形成的侧向 影响进行改正, 所以按KQ 型四层 断 面 推 断, 认为有一个以724点为中心的 "低阻花 岗岩突起", 其埋深为540米, 电阻率为 1240Q·m(与花岗岩的电阻率相当)但验证 结果,打到1001,6米时仍未见到花岗岩。这一 失败的教训是很深刻的。经用"量板"改正 后, 曲线末枝不同程度地上升, 如图 2 改正 点(x)所示,这是个旧组下部岩层的反映。

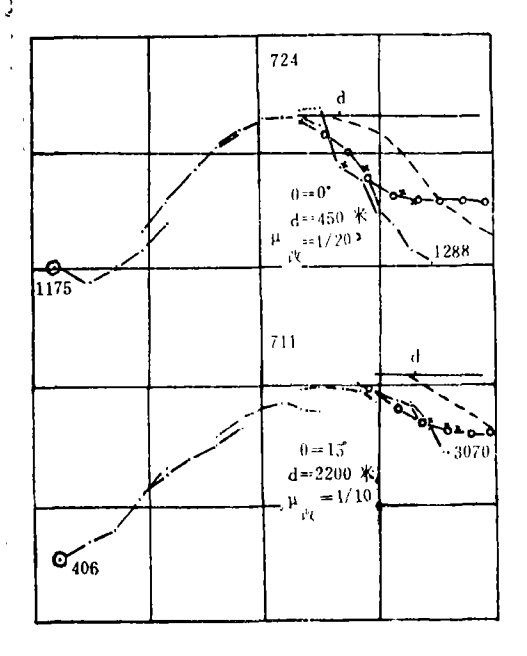


图 二 实测曲线

推断曲线

改正点 改正点

一 垂直界面计算曲线

例 日 与界面夹角

θ 与界面夹角 团 离界面距离

图 2 侧向影响改正实例

47

推断花岗岩的埋深大致为1390米。图 2 还表明: 测深点离界面距离 d 越小、或 μ 越大,侧向影响就越大。如724点比711点的侧向影响的改正值大得多。对其它存在这种影响的各测深点也都进行了改正,"低阻突起"异常消失。此后对全区400km²内的700多个点逐个进行检查,对那些需要和可以进行侧向影响改正的点(目前对几个界面综合影响的点还没有研究出改正办法)都作了改正,把原来圈定的另一个"低阻突起"异常消除了。并为钻探所证实。

Ł,

实际工作中经常碰到不同电性的**倾斜界** 面对电测深的影响。为此,又编制出**《倾斜**界面视电阻率量板》,用来改正受倾斜界面影响的电测深曲线。

三、地表、地下局部电性不均匀体及邻近良导体影响的研究 由理论计算和实验得知,当地表电性不均匀体(局部浮土、局部地形等)的规模比电剖面法所用电极距小许多倍时,同一测点的 ρ^{A} 、 ρ^{B} 值近似地呈一定比例的变化,这样,视电阻率曲线可以转换成视电阻率比值曲线(简称 b 曲线)。图 8 所示的局部起伏地形,引起 ρ_{s} 曲线近似同比例的畸变,虽然 ρ_{s} 异常值 n_{ρ} 达45~90%,但对b曲线的影响很小,其异常值 n_{r} 只有10%。

当局部浮土规模(相对电极距而言)较大时,联剖曲线将形成正交点。为鉴别它是

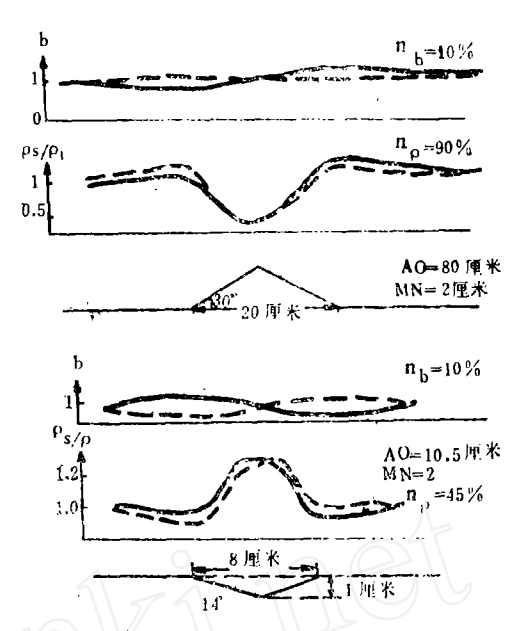


图 3 ρ.与b曲线的对比

浅部浮土还是深部地质体引起,可在正交点附近布置4个电测深点。当交点是浮土引起时,所测得的电测深视电阻率断面图上的ρ。曲线只表现浅部有异常,深部的ρ。线趋于平,行与图6-2近似。对浮土中部(如图4-1)的实测曲线,可借助"浮土量板"用选择法计算理论曲线使之与实测曲线逼近。当两者相近时(如图4-3),说明理论曲线计算所依据的半椭圆柱形态(图4-4)与引起实测曲线畸变的浮土形态(图4-2)是

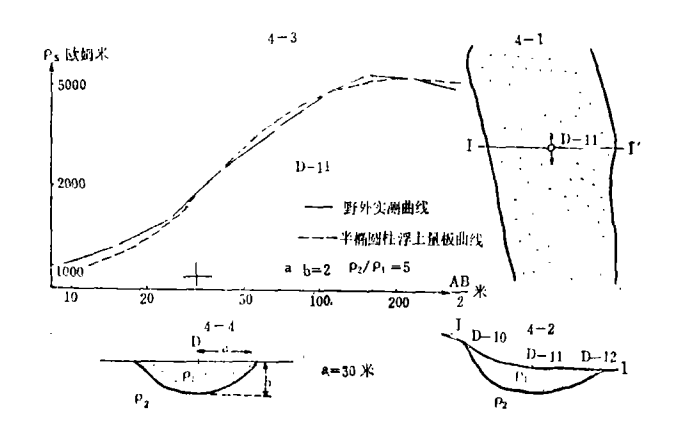


图 4 浮土厚度选择法推断曲线

相近的,于是达到了了解浮土厚度的目的。 地下局部电性不均匀体的影响,我们采 用b曲线来解释,效果较好。

直立良导体位于地形平坦、介质均匀的

围岩中,在它上方将出现一个对称而且是低 阻的联剖法正交点。可是在区内的良导性含 矿断裂带上很少出现正交点。由于该区断裂 带常成群出现,间距小于供电极距、异常互 相迭加。图 5 就是一例,图中所示的两个导体相距1.09AO,其电阻率 $\rho_2 = (1/5)\rho_1$, $\rho_3 = (1/10)\rho_1$ 。在 ρ_2 顶部, ρ_2 使 ρ_3 下降, ρ_3 上升;但在同一位置, ρ_3 却使 ρ_3 上升, ρ_4 下降。两者综合结果,形成组合迭加曲线 5 — 2,在 ρ_2 顶部并不形成正交点,而形成两曲线由宽到室由 盲到宽的低阻带。同理,在 ρ_3 上方,由于 ρ_2 影响,使其正交点不在 ρ_3 正上方,偏向 ρ_3 的左则。两导体的位置均可由b 曲 线梯

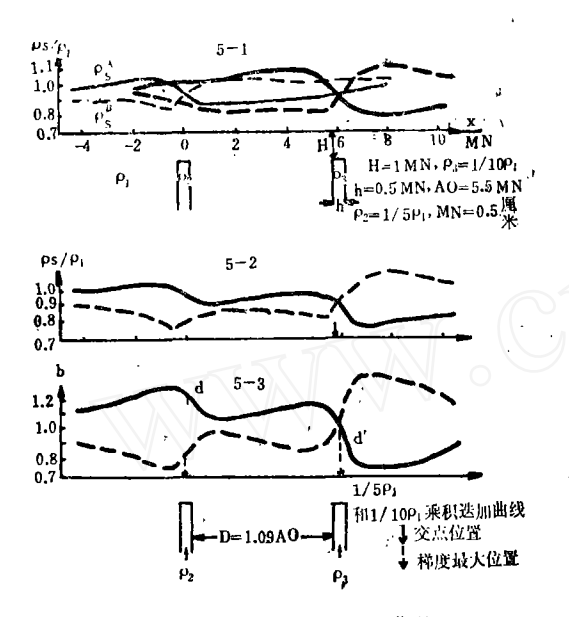


图 5 导体组合选加ρ.和b 曲线

度的最大值点确定。当 $b_A > b_B$ 时,导体位于b曲线靠近点左侧的梯度最大处,即图 5—3 d点处,当 $b_A > b_B$ 时,导体位于b曲线接近点(或交点)右侧的梯度最大处,即 d'处。这就说明b曲线不但能分辨邻近的 良导体影响,而且能利用其特征点比较准确地确定导体的顶部位置。

四、工业游散电流及铁管干扰的研究 矿区内还有工业游散电流和铁管的干扰,前 者给电法读数带来很大困难,甚至无法观 测,后者产生干扰异常,给推断解释带来困 难。对于工业游散电流的影响,虽采用换同 器等办法来消除,可是由于干扰讯号太大报 及频率不同,因而未能奏效。通过调查干扰 的范围,最后在干扰小的空隙时间,快速 数而获得了较准确的数据。对 铁 管的干扰 是通过对异常的实地踏勘,针对影响情况的 不同,采取了不同的消除方法。例如,将铁 管悬空后再观测。如果没有异常,则说明原 来的异常是铁管引起的,(如图 6-1 示)。 或利用小极距电测深测得视电阻 率 断面图, 根据ρ»等值线变化来区别。当等ρ»线只在浅 部有异常时,说明联剖曲线交点是铁管影响, 如图 6-2 示。 铁管给电测深造成的干扰, 还可改变布极方向,取其影响最小的曲线来 推断。这样做的结果,大多数干扰异常均可 得到消除。

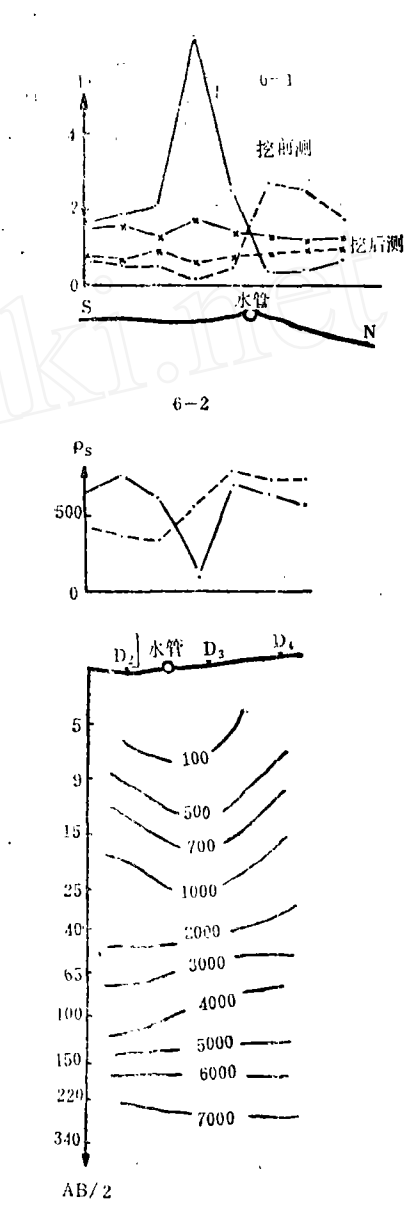


图 6 水管干扰的消除方法图

找矿效果及异常的推断解释

一、在浮土覆盖区寻找含矿断裂带 地质情况表明:脉状氧化矿注往赋存在陡倾的断裂带内。其电阻率从表1可知,与围岩

有 3 ~10倍的差异,因而投入了联合剖面法来寻找隐伏的含矿断裂带。

1

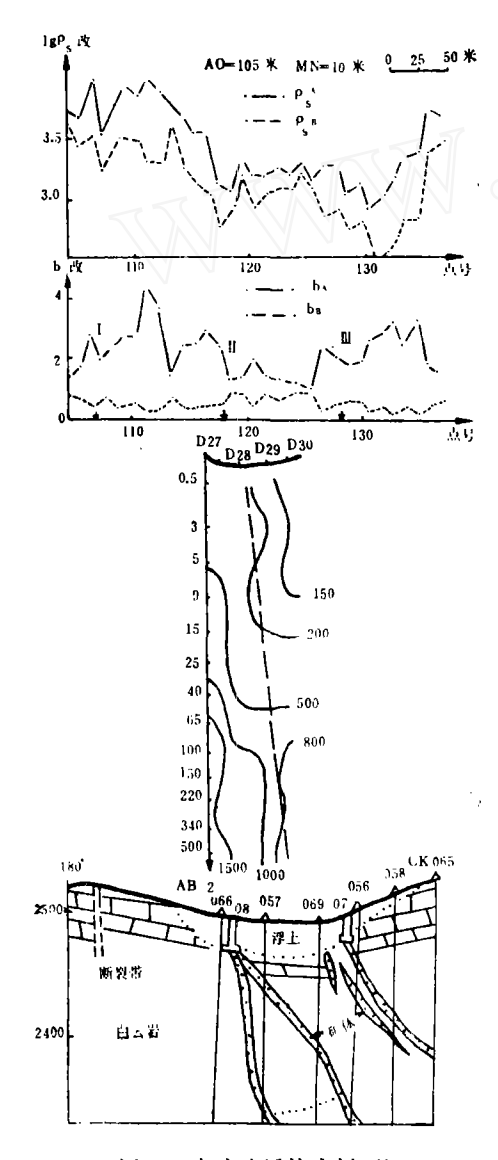
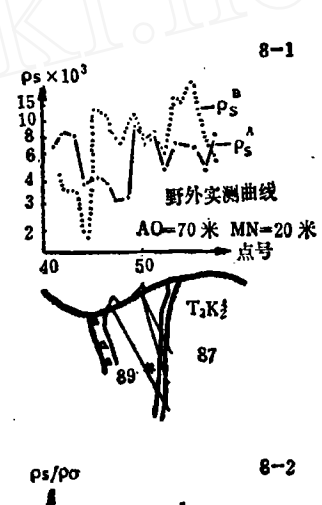


图 7 电法地质综合剖面图

两侧布置了四个电测深点。从等 ρ s线断面图可见,中部有一个低阻带,说明有断裂带存在,等 ρ s线南陡北缓,反映断裂向北倾,如图中虚线所示。又根据bA>bB,所以在b曲线靠近点的左侧梯度最大值点布置了浅井,于23.6米打穿浮土后见断裂带和矿体。同样,皿号异常由浅井和钻孔所证实,也是断裂带和矿脉所引起。

在岩性比较均一,地质情况比较简单的情况下,借助电阻网络用选择法、对所假设的导体的形状和电性不断地加以修改,使模拟得的曲线逐次接近野外实测曲线,即可达到解释异常的目的。图8就是电阻网络模拟实例之一。采用二维电阻网络模拟,先后三次修改导体的形态和电参数比例,最后所得的曲线(图8-2)与实测曲线(8-1)基本

1



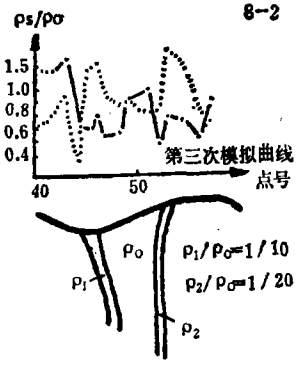


图 8 电阻网络模拟推断实例

一致,说明异常是断裂和含矿断裂带引起。 后得到槽采与钻探的证实,在 $\rho_1/\rho_0 = 1/10$ 的部位为断裂带,在 $\rho_2/\rho_0 = 1/20$ 部位为含 矿断裂带。可见所作出的解释是正确的。

二、**圈定花岗岩的起伏形态** 矿区内已 知硫化矿多赋存在燕山期黑云母花岗岩的宾 起部位或凹陷带。因此,圈定隐伏花岗岩的起伏形态具有间接找矿的意义。

早在50年代后期,在这个地区应用电测深法(极距 AB = 4000米)成功 地圈定了埋藏较浅的(300~500米)花岗岩突起地带,指出了矿体赋存部位。以后继续进行这项工作,也取得了一些较好的地质效果。图 9 是用电测深法圈定的北炮台到天马山的花岗岩突起形态。所推得的花岗岩埋深与钻探结果相符,误差一般均小于10%。与此同时,为了寻找埋深更大(近1000米)的花岗岩突起,投入了大极距(AB = 10000米)的电测深。由于它同样存在上述干扰,我们除采取相应的消除措施外,还特别注意测深点位置的选

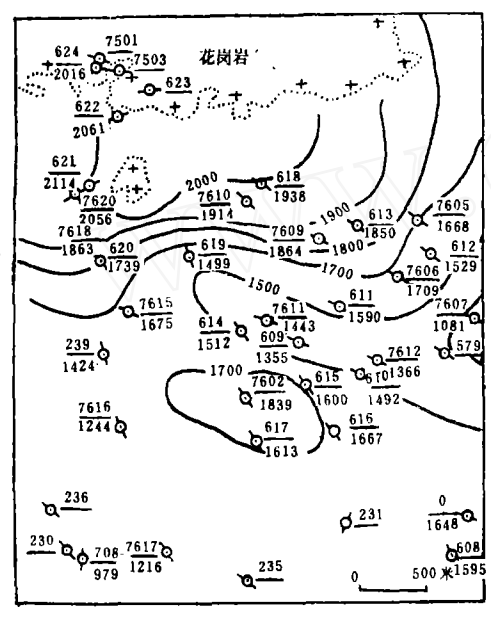


图 9 北炮台一天马花岗岩等高线平面图 择和布极方向,分析对比时注意 使 曲 线圆滑,力求较准确地掌握中间层的电阻率。最后,编制出花岗岩等高线和等深线平面图,基本上反映了区内较大的隐伏花岗岩的起伏形态。对高峰山花岗岩的突起经验证后找到了一个中一大型的以锡 矿、铜 矿 为 主 的矿田。该花岗岩突起部分的埋深大于800米,推断误差较大,初步认为下部有一低阻岩系和一个大破碎带的干扰。其中有一些低阻的异常还有待验证。

三、直接寻找深部硫化矿 寻找浅部矿体已有实例证明应用电测深法是有效的。但是能否用它来寻找深部矿,还有待实践证明。一般均认为电测深只能在平坦地区寻找顶部

面积相对于埋深为无限大的矿体,其厚度须大于上复岩层,而且倾角不能大于20°等。

在研究老厂电测资深料时(1),发现有几个电测深点的测深曲线的末枝下降,其斜率也比一般的测深曲线要陡,末枝的视电阻率值也比花岗岩的电阻率值小。图10所示的曲线,其末枝ρ₃仅为600Ωm,还在继续下降。说明是电阻率值远小于600Ωm的地质体与花岗岩的综合反映。定量推断结果,该地质体的埋深为288米。经查核地质资料,在该点下312米处,有一厚约10米、规模400×700米的硫化矿体(编号3—1号)。推断的埋深与实际埋深相对误差只有8.4%。从此例可看出,在这里用电测深法直接寻找深部矿体也是有可能的。

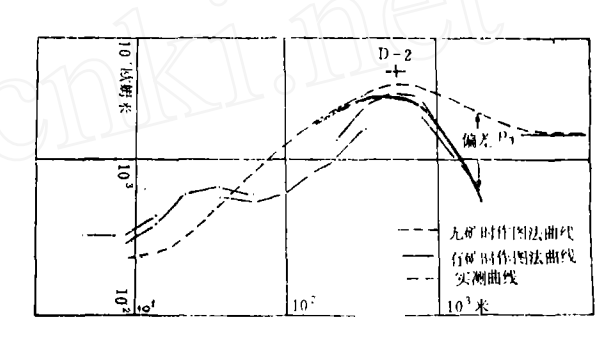


图10 D-2两种方案推断结果的对比图

从电测深理论得知: 电 测 深 曲线的变 化,不仅决定于被探测层的深度,而且还决 定于被探测层的厚度h 和电 阻率ρ 的关系, 即与纵向电导S=h/ρ和横向电阻 T=h•ρ的 大小有关。如果被探测层的 S、T 与上复岩 层的S'、T' 差异越大,则电测深曲线的变化 就越大。就图10电测深点 F 的 矿 体 来说, 如取其平均厚度h3=10米,平均电阻率为 $1Ω \cdot m$, 则S = 10; 取浮土的厚度为 $h_1 = 15$ 米, 电阻率为 $ρ_1 = 250\Omega \cdot m$; 取灰 岩 的 厚 -**変h₂ = 297** 米, 电阻率ρ₂ = 5400Ω·m, 此 时上 覆岩 层的 S_{1.2} = 15/250 + 297/5400 = 0.115。于是S比S_{1.2}大87倍,曲线一定产生 很大偏差。我们把这种偏差称为异常。在上 述条件下, 当异常大于20%就 有 可 能 发现 它。而D-2在 AB/2 = 2000 米 时, 异常达 68%。从图10可见,假设有矿时,由作图法 得到的理论曲线的末枝与实测曲线的末枝将 重合在一起; 如果无矿, 则花岗岩的理论曲 线与实测曲线的末枝将彼此偏离很大。在这

个地区还发现有几条类似D-2的电测深曲线,有些经钻探验证,打到了矿体,408号和116号点在74年还没有工程验证,78年验证结果,打到了10.31米和17.31米厚的矿体。

对于408号点,推得末枝的电阻率 为700 Ω ·m, 埋深为480 米。 CK9-4布置 在408号点西10米,于447.34米见矿,推断的相对误差为7.3%,矿体厚10.31米,是一个锡、铜、铅、锌综合矿体。后来在其周围又打了三个孔,都见到了矿。

用量板只能推断矿体与花岗岩体的综合 埋深。为了单独把矿层划分出来,我们对 408号点用电子计算机做了三种方案的反演 计算。即(1)假设其下没有矿体,花岗岩电阻 率取1360Ω•m, 获得图11中的曲线 1, 与实 测曲线偏差很大,说明推断与实际情况不符,

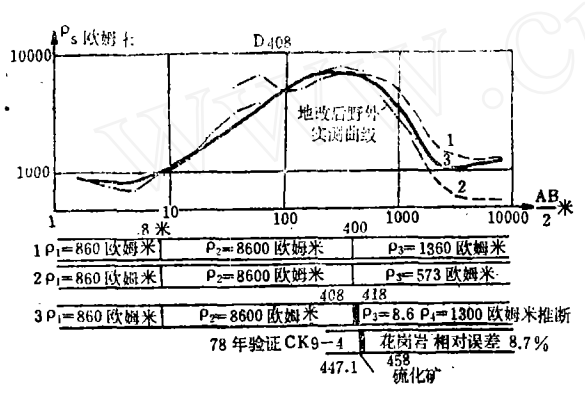


图11 D408三种方案推断结果的对比图

(2)假设其下没有矿体,花岗岩 电 阻 率 取 $573\Omega \cdot m$ (下限值),获得了图中的曲线2,也显示与实测曲线不符,(3)假设在408~418米有一层电阻率为8.6 $\Omega \cdot m$ 的硫化矿,418米以下仍取花岗岩的平均电阻率为 $1300\Omega \cdot m$,则获得图中的曲线 3 与实测曲线相当吻合。

电测深曲线末枝下降陡,其电阻率小于 花岗岩电阻率的点是否都是矿体的反映呢? 情况并不如此简单。例如76—5号点位于白 云岩上,曲线末枝斜率陡、末枝电阻率为 400Q·m。如果推断下面有矿,则推断的深 度与已知孔(CK75—2)所揭露的花岗岩埋深 对比,相对误差达40%。如果把该点东南侧 两公皇(AB距10公里)的低阻断层、大片 浮土及北西侧4.2公里的低阻砂页岩做为侧 向影响,并给予改正后,曲线末枝变平缓, 电阻率值为 1100Ω·m。根据改正后的曲线 来推断,花岗岩的埋深与实际埋深相对误差 只有6%,再次说明消除干扰的重要性。

存在的问题

- 1.工作游散电流的干扰,严重地影响所测得的数据的质量和工作效率,有些地区至今仍无法观测,应采用新的仪器来解决。
- 2.在这个矿区,找矿方向之一是向深部 发展。但用目前的方法和设备有很大的困难。从图12可知:假设在类似矿区的地电条件下,在710~730米深处寻找厚20米、水平方向的规模可视为一维的、电阻率为 10Ω·m的矿体,要获得一条完整的曲线(相对无矿的曲线1、异常大于20%而言),AB极级需要20公里。这时观测精度很难保证,如果要寻找埋深更大的矿体,观测精度则更难以保证。此外,定量解释的精度,在很大程度上取决于中间层电阻率的精确程度。在这个地区又难以用电测井方法来获得所需要的电阻率值。

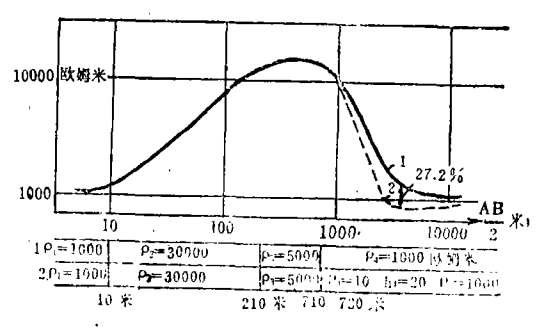


图12 电测深电算正演曲线

3.目前电阻率法对解决许多地质问题还不能得到定量的解释。例如大极距电测深存在多个不同电性的岩层界面的侧向影响;用电测深能直接寻找的矿体的水平方向的规模与埋深的关系如何,都有待进一步研究。

以上所介绍的成果,有些是我们与中南矿冶学院地质系物探专业,云南大学数学系的老师们集体协作取得的。于安良等同志对本文提了许多宝贵的意见,在此一并致谢。